
§1 wavelet とは何か

- 1.1 信号と wavelet
- 1.2 wavelet 変換
- 1.3 Parseval の等式と不確定性関係
- 1.4 離散 wavelet 変換
- 1.5 多重解像度解析

信号 ... エネルギー有限な関数 $f(x)$ (二乗可積分関数, L^2 関数)

Fourier解析は, 信号を \cos, \sin の重ね合わせで表し, その特徴から信号の性質を調べる

- 信号が周期的な場合 (周期 2π , or $\mathbb{T} = \mathbb{R}/2\pi\mathbb{Z}$ 上の関数)

$$\text{“エネルギー”} := \int_0^{2\pi} |f(x)|^2 dx < \infty \quad (f \in L^2(\mathbb{T}) \text{ と表す})$$

$f \in L^2(\mathbb{T})$ は **Fourier級数** で表現される:

$$f(x) = \sum_{n=-\infty}^{\infty} c_n e^{inx}, \quad c_n = \frac{1}{2\pi} \int_0^{2\pi} f(x) e^{-inx} dx \quad (\text{Fourier係数})$$

$f, g \in L^2(\mathbb{T})$ に対して, 内積

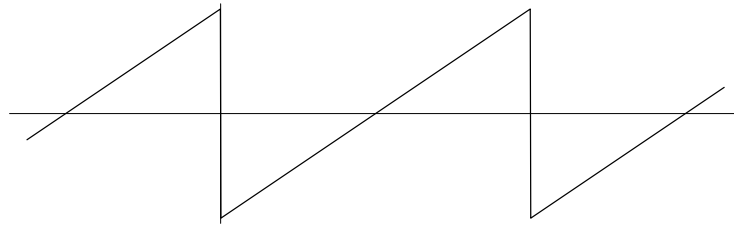
$$\langle f, g \rangle_{L^2(\mathbb{T})} := \frac{1}{2\pi} \int_0^{2\pi} f(x) \overline{g(x)} dx \quad (\text{ノルム } \|f\|_{L^2(\mathbb{T})} := \langle f, f \rangle_{L^2(\mathbb{T})}^{1/2})$$

を導入すれば, $\{e^{inx}\}_{n=-\infty}^{\infty}$ は $L^2(\mathbb{T})$ の 正規直交基底 (直交座標系) となる.

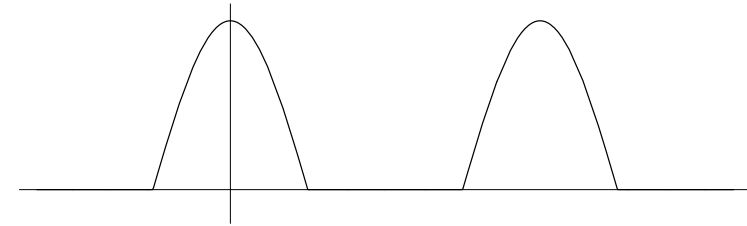
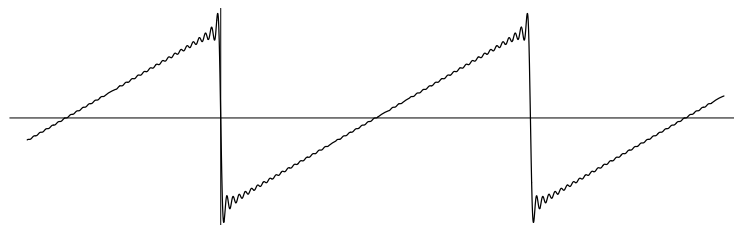
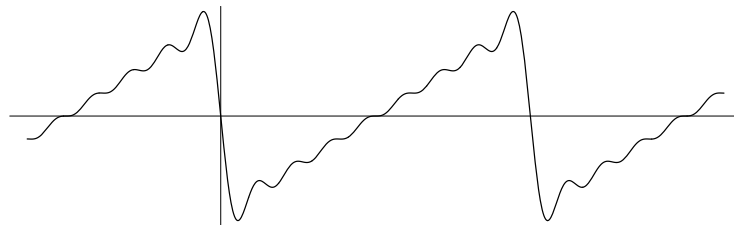
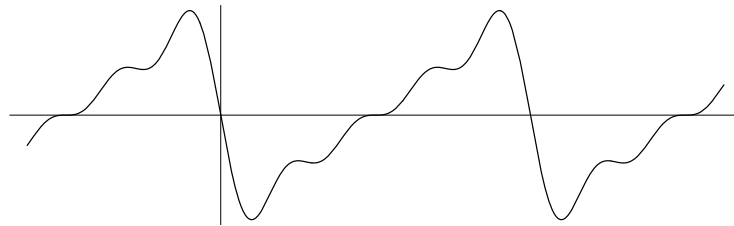
→ Fourier係数 c_n は $f(x)$ の “ e^{inx} 方向” の成分: $c_n = \langle f(x), e^{inx} \rangle$

(注: $e^{inx} = (e^{ix})^n$)

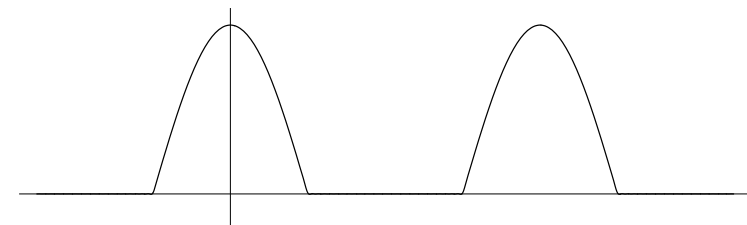
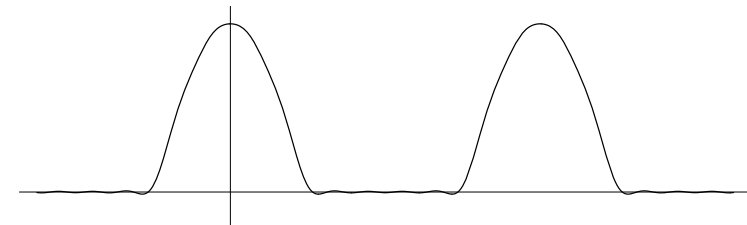
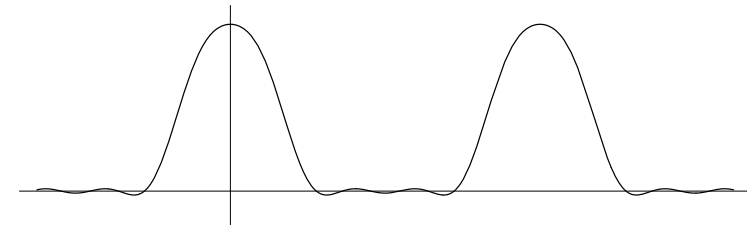
典型的な Fourier 級数の収束の様子 ($|n| \leq 4$, $|n| \leq 8$, $|n| \leq 50$)



鋸歯状波



半波整流波



- 信号が周期的でない場合 (\mathbb{R} 上の関数, 遠方では速く減衰)

$$\text{“エネルギー”} := \int_{-\infty}^{\infty} |f(x)|^2 dx < \infty \quad (f \in L^2(\mathbb{R}) \text{ と表す})$$

$f \in L^2(\mathbb{R})$ の **Fourier 変換** に対する反転公式は

$$f(x) = \frac{1}{2\pi} \int_{-\infty}^{\infty} \hat{f}(\omega) e^{i\omega x} d\omega, \quad \hat{f}(\omega) := \int_{-\infty}^{\infty} f(x) e^{-i\omega x} dx \quad (\text{Fourier 変換})$$

$f, g \in L^2(\mathbb{T})$ に対して, 内積

$$\langle f, g \rangle = \langle f, g \rangle_{L^2(\mathbb{R})} := \int_{-\infty}^{\infty} f(x) \overline{g(x)} dx \quad (\text{ノルム } \|f\|_{L^2(\mathbb{R})} := \langle f, f \rangle_{L^2(\mathbb{R})}^{1/2})$$

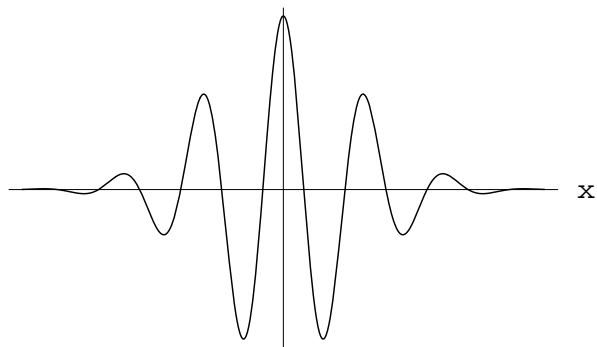
を導入すれば, $\left\{ \frac{e^{i\omega x}}{\sqrt{2\pi}} \right\}_{\omega \in \mathbb{R}}$ が $L^2(\mathbb{R})$ の “正規直交基底” と考えられる.

$$\rightarrow \frac{\hat{f}(\omega)}{\sqrt{2\pi}} \text{ は } f(x) \text{ の “} \frac{e^{i\omega x}}{\sqrt{2\pi}} \text{ 方向” の成分: } \frac{\hat{f}(\omega)}{\sqrt{2\pi}} = \overbrace{\left\langle f(x), \frac{e^{i\omega x}}{\sqrt{2\pi}} \right\rangle}^{f \text{ の周波数成分}}$$

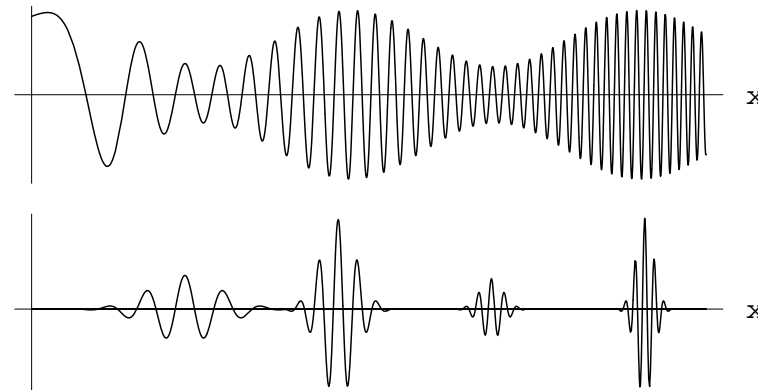
(注: $e^{i\omega x} = (e^{ix})^\omega$)

- 信号 $f \in L^2(\mathbb{R})$ に対して, Fourier解析の手法 (\cos, \sin の重ね合わせ) では
周波数構造が時刻(場所) x に関してどのように変化しているかが捉えにくい
- そこで **wavelet** の登場. waveは“波”(平均0), letは“小さい”. すなわち,
wavelet = small wave ... **局在した波の総称**

信号を(1つのwaveletから生成される)多くのwavelets波形の重ね合わせで表現し
その特徴から信号の性質を調べる → **wavelet解析**



wavelet の例 ($\psi(x)$ で表す)



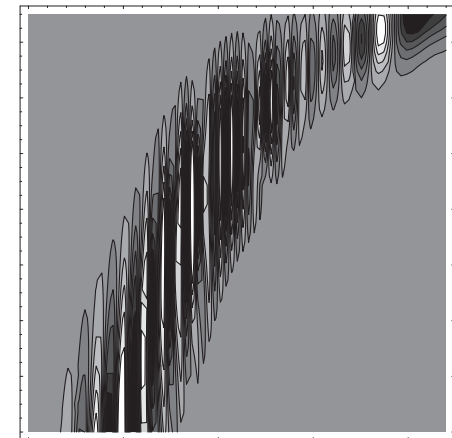
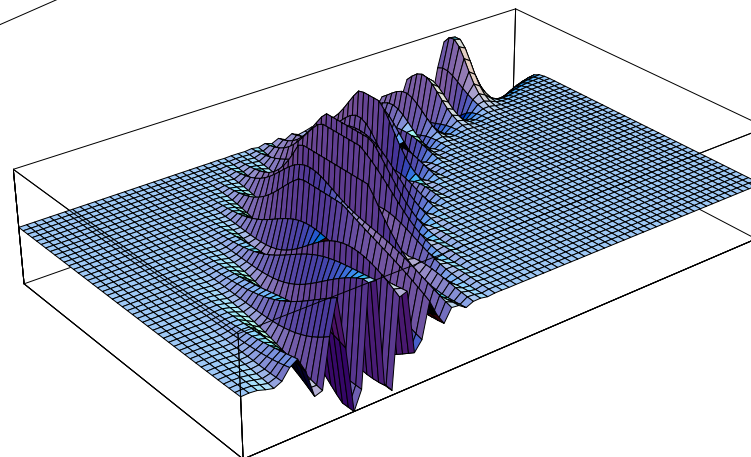
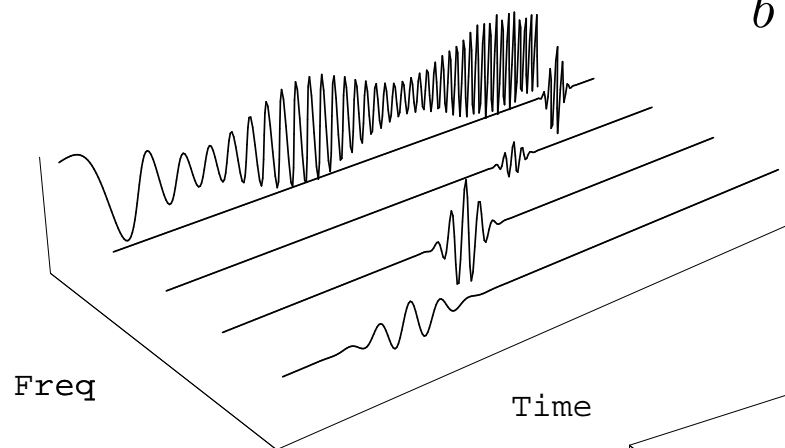
信号の切り出し (wavelet を縦横に拡大・縮小)

- **analyzing wavelet** $\psi(x)$ … waveletsを生成する基底関数 ← “母”
(mother wavelet)

信号を切り出す際は $\psi^{a,b}(x) := \frac{1}{\sqrt{|a|}} \psi\left(\frac{x-b}{a}\right)$ の形 ← “子供達”

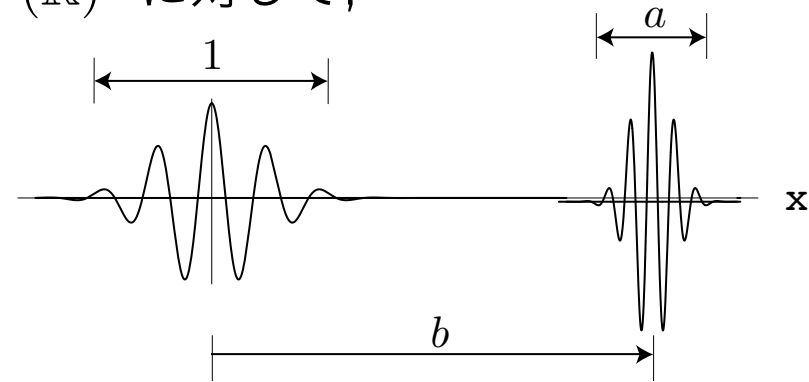
- **信号平面 (= 時間周波数平面) 上の表現**

b : 時間, $\frac{1}{a}$: 周波数



$$\psi(x) = e^{-\left(\frac{x}{8}\right)^2} \cos x$$

analyzing wavelet $\psi \in L^2(\mathbb{R})$ に対して,



$$\psi(x) \qquad \frac{1}{\sqrt{a}} \psi\left(\frac{x-b}{a}\right)$$

$a (> 0)$: scale parameter, b : translation parameter

- (連続) wavelet 変換

$$(W_\psi f)(a, b) := \langle f, \psi^{a,b} \rangle = \int_{-\infty}^{\infty} f(x) \frac{1}{\sqrt{|a|}} \overline{\psi\left(\frac{x-b}{a}\right)} dx$$

- 逆 wavelet 変換

$$f(x) = \frac{1}{C_\psi} \int_{-\infty}^{\infty} \int_{-\infty}^{\infty} (W_\psi f)(a, b) \frac{1}{\sqrt{|a|}} \psi\left(\frac{x-b}{a}\right) \frac{da db}{a^2} \left(d\left(\frac{1}{a}\right) db\right)$$

- 逆変換が定義できるためには, $\psi \in L^2(\mathbb{R})$ に対して, **admissible条件**

$$C_\psi := \int_{-\infty}^{\infty} \frac{|\hat{\psi}(\omega)|^2}{|\omega|} d\omega < \infty$$

が要請される. 十分条件として,

$$\underbrace{\hat{\psi}(0) = \int_{-\infty}^{\infty} \psi(x) dx = 0}_{\text{“波” (平均0)}}, \quad \underbrace{\int_{-\infty}^{\infty} (1 + |x|)^\epsilon |\psi(x)| dx < \infty}_{\text{遠方で“速く”減衰}} \quad (\epsilon > 0 : \text{定数}).$$

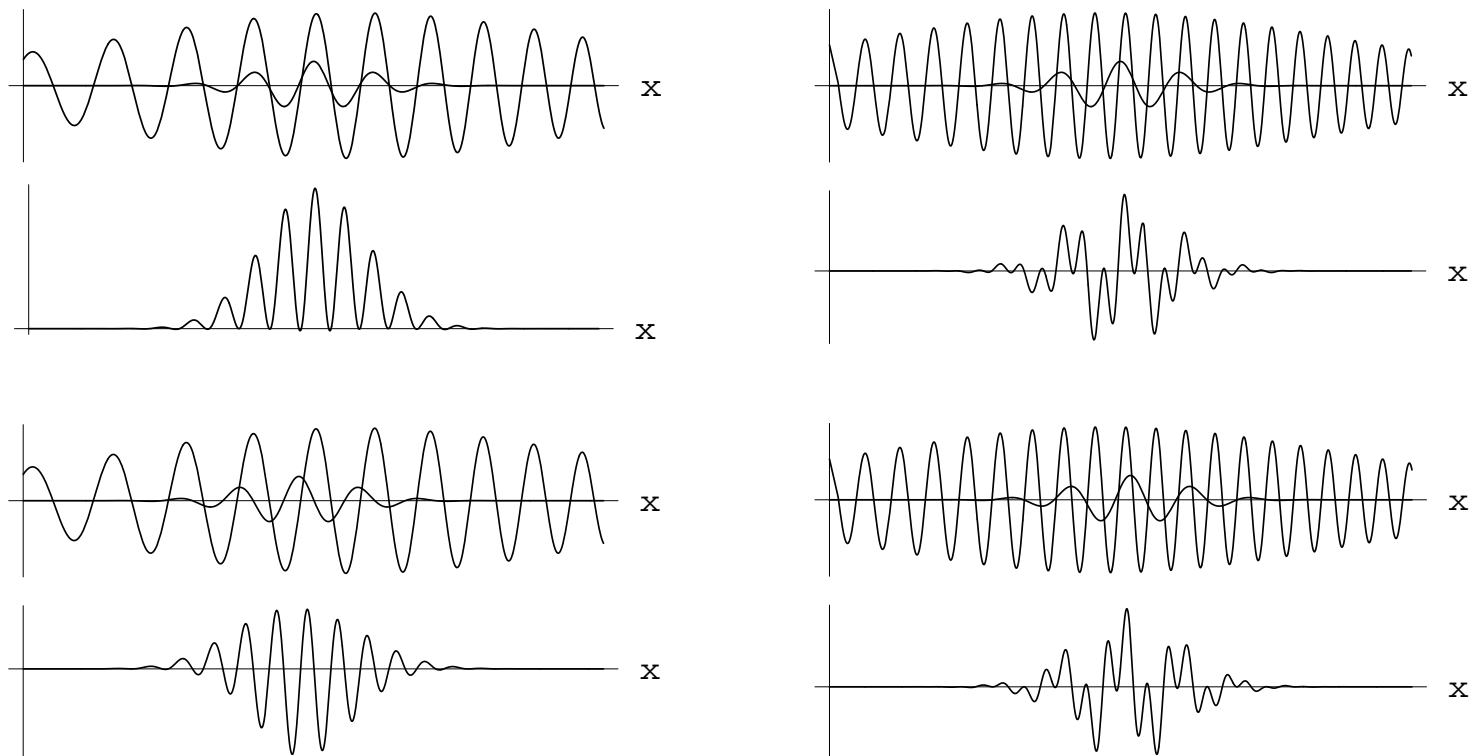
特に, $\psi(x)$ が実数値ならば, $\hat{\psi}(-\omega) = \overline{\hat{\psi}(\omega)}$ となり, $a > 0$ に対する $(W_\psi f)(a, b)$ だけを用いて逆変換できる:

$$f(x) = \frac{2}{C_\psi} \int_0^\infty \left(\int_{-\infty}^\infty (W_\psi f)(a, b) \psi^{a,b}(x) db \right) \frac{da}{a^2}.$$

- 次のエネルギー等式が成り立つ:

$$\int_{-\infty}^{\infty} |f(x)|^2 dx = \frac{1}{C_\psi} \int_{-\infty}^{\infty} \int_{-\infty}^{\infty} |(W_\psi f)(a, b)|^2 \frac{dadb}{a^2}.$$

- $f(x)$, $\psi\left(\frac{x-b}{a}\right)$ および $f(x)\psi\left(\frac{x-b}{a}\right)$ のグラフ ($a > 0$)

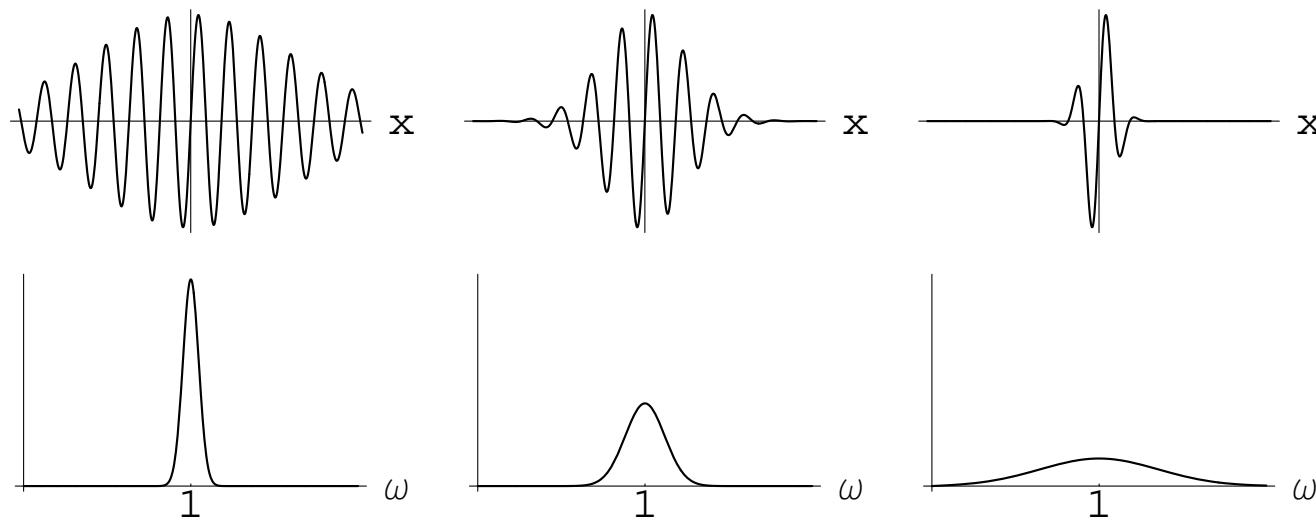


$$f(x) \sim \pm \psi\left(\frac{x-b}{a}\right) \Rightarrow (W_\psi f)(a, b) \sim \pm \int_{-\infty}^{\infty} \frac{1}{\sqrt{a}} \left| \psi\left(\frac{x-b}{a}\right) \right|^2 dx$$

- 時間周波数解析

信号を時間と周波数の両面から捉えること (信号を信号平面で表現すること).

信号の位置の不確定性と周波数の不確定性は、同時に小さくできない! 例えば,



$\frac{e^{-\left(\frac{x}{s}\right)^2}}{\text{“窓”}} \sin x$ ($s = 30, 12, 4$) とその Fourier 変換の虚部 (実部は0) のグラフ

【問1.1】 $e^{-\left(\frac{x}{s}\right)^2} \sin x$ ($s > 0$) の Fourier 変換を計算せよ.

- Parsevalの等式

$$\langle f, g \rangle = \frac{1}{2\pi} \langle \hat{f}, \hat{g} \rangle \quad \text{特に, } \|f\| = \frac{1}{\sqrt{2\pi}} \|\hat{f}\| \quad (f, g \in L^2(\mathbb{R}))$$

$$\text{すなわち } \underbrace{\int_{-\infty}^{\infty} |f(x)|^2 dx}_{\text{全エネルギー}} = \int_{-\infty}^{\infty} \underbrace{\left| \left\langle f(x), \frac{e^{i\omega x}}{\sqrt{2\pi}} \right\rangle \right|^2}_{\text{エネルギースペクトル } E(\omega)} d\omega$$

- 不確定性関係

$f(x), xf(x), \omega \hat{f}(\omega) \in L^2(\mathbb{R})$ ($f \neq 0$) のとき,

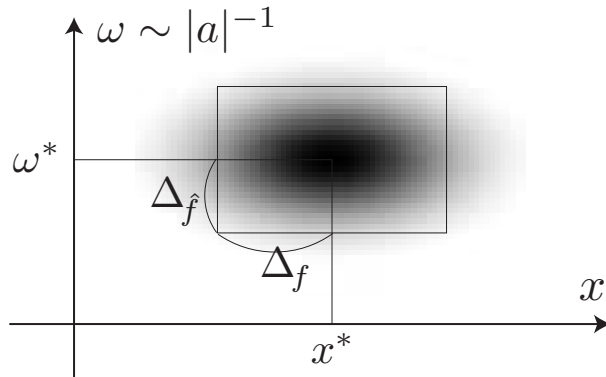
$$x^* := \frac{1}{\|f\|^2} \int x |f(x)|^2 dx, \quad \Delta_f := \frac{1}{\|f\|} \left(\int (x - x^*)^2 |f(x)|^2 dx \right)^{1/2},$$

$$\omega^* := \frac{1}{\|\hat{f}\|^2} \int \omega |\hat{f}(\omega)|^2 d\omega, \quad \Delta_{\hat{f}} := \frac{1}{\|\hat{f}\|} \left(\int (\omega - \omega^*)^2 |\hat{f}(\omega)|^2 d\omega \right)^{1/2}$$

中心 (平均)
幅 (標準偏差)

$$\implies \boxed{\Delta_f \Delta_{\hat{f}} \geq \frac{1}{2}} \quad \left(\frac{|f(x)|^2}{\|f\|_{L^2}^2}, \frac{|\hat{f}(\omega)|^2}{\|\hat{f}\|_{L^2}^2} \text{ は確率密度関数!} \right)$$

- 信号の最小単位



信号 $f(x)$ の情報の集中する
信号平面上の長方形の面積は

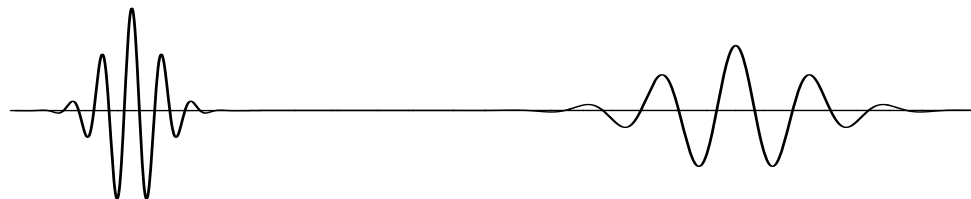
$$2\Delta_f \cdot 2\Delta_{\hat{f}} \geq 2$$

⇒ 面積2の(長方形)領域が 信号の最小単位

高周波数では短い時間幅, 低周波数では長い時間幅

⇒ wavelet 変換 $\left(\frac{1}{\sqrt{|a|}} \psi\left(\frac{x-b}{a}\right)\right)$ による情報の切り出し) は
合理的な時間周波数解析の手法 (周波数 $\sim |a|^{-1}$, 波の時間幅 $\sim |a|$)

$|a|$: 小 \leftrightarrow 高周波数 & 短時間, $|a|$: 大 \leftrightarrow 低周波数 & 長時間



【問1.2】 $\psi(x) = e^{-x^2/2}$, $(1-x^2)e^{-x^2/2}$ に対して, $\Delta_\psi \Delta_{\hat{\psi}}$ を計算せよ.

【問1.3】 $\psi \in L^2(\mathbb{R})$ (実数値関数) に対して,

$$\psi^{a,b}(x) := \frac{1}{\sqrt{|a|}} \psi\left(\frac{x-b}{a}\right) \quad (a, b \in \mathbb{R}).$$

- (1) $\|\psi^{a,b}\|_{L^2}$ は a, b ($a \neq 0$) によらずに一定の値を取ることを示せ.
 (2) Parsevalの等式を用いて次を示せ. (簡単のため $a > 0$ とする)

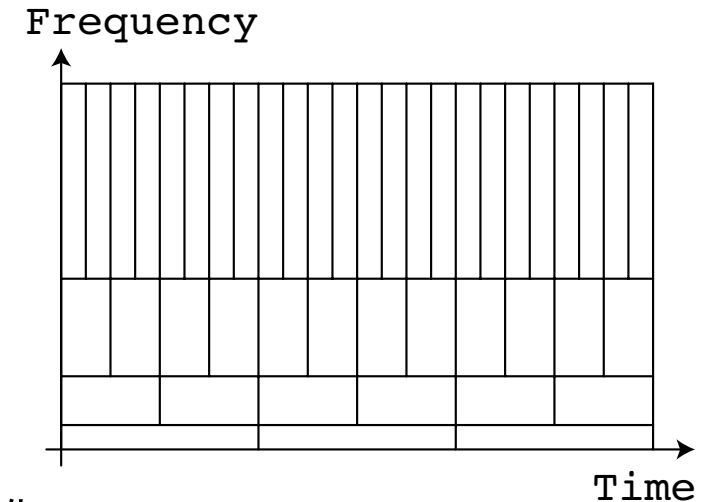
$$(W_\psi f)(a, b) \stackrel{\text{def}}{=} \langle f(x), \psi^{a,b}(x) \rangle_{L_x^2} = \frac{1}{2\pi} \langle \hat{f}(\omega), \sqrt{a} \hat{\psi}(a\omega) e^{-ib\omega} \rangle_{L_\omega^2}$$

- (3) 次の値を, ψ の中心 x^* と幅 Δ_ψ , および $\hat{\psi}$ の中心 ω^* と幅 $\Delta_{\hat{\psi}}$ を用いて表せ.

$\psi^{a,b}(x)$ の中心と幅, および $\sqrt{a} \hat{\psi}(a\omega)$ の中心と幅

- wavelet 変換 $(W_\psi f)(a, b)$ は $f(x)$ の情報としては冗長

⇒ $f(x)$ を復元するには,
互いに重ならない最小単位の領域の組を選び,
代表点での $(W_\psi f)(a, b)$ の値を列挙すればよい
だろう



- 離散 wavelet 変換 $(f \mapsto \{d_{j,k}\}_{j,k \in \mathbb{Z}})$

$(W_\psi f)(a, b)$ を $(b, 1/a) = (2^{-j}k, 2^j)$ とおいて離散化

$$d_{j,k} := (W_\psi f)(2^{-j}, 2^{-j}k) = \langle f, \psi_{j,k} \rangle$$

$$\psi_{j,k}(x) := 2^{j/2} \psi(2^j x - k) \quad (j, k \in \mathbb{Z})$$

これらの値だけから $f(x)$ が復元できる場合がある.

《注》 逆変換 $(\{d_{j,k}\}_{j,k \in \mathbb{Z}} \mapsto f)$ が存在するためには, 少なくとも,
 $\{\psi_{j,k}\}_{j,k \in \mathbb{Z}}$ が $L^2(\mathbb{R})$ の基底をなす必要がある. (きつい制限)

もし $\psi \in L^2(\mathbb{R})$ が **直交 wavelet** ($\stackrel{\text{def}}{\Leftrightarrow} \{\psi_{j,k}\}_{j,k \in \mathbb{Z}}$ が $L^2(\mathbb{R})$ の 正規直交基底) であれば, 応用上きわめて都合がよい.

- $f(x) = \sum_{j=-\infty}^{\infty} \sum_{k=-\infty}^{\infty} d_{j,k} \psi_{j,k}(x), \quad d_{j,k} := \langle f, \psi_{j,k} \rangle \quad (j, k \in \mathbb{Z})$
- $\|f\|^2 = \sum_{j,k \in \mathbb{Z}} \|d_{j,k} \psi_{j,k}\|^2 = \sum_{j,k \in \mathbb{Z}} |d_{j,k}|^2$

$\psi(x)$ が $x = 0$ の周りに分布しているとする,

- $\psi_{j,k}(x)$ は $x = 2^{-j}k$ の周りに分布し, その波形は $\psi(x)$ を拡大・縮小したもの:

$$\psi_{j,k}(x) = 2^{j/2} \psi(2^j x - k) = 2^{j/2} \psi\left(\frac{x - 2^{-j}k}{2^{-j}}\right)$$

- 展開係数 $d_{j,k}$ は $f(x)$ の中に $\psi_{j,k}(x)$ の成分がどれくらいあるかを表す.
(**レベル j の詳細係数** または **wavelet 係数** と呼ばれる)

直交 wavelet の構成法 について考える.

$\psi(x)$ が直交 wavelet のとき, $f \in L^2(\mathbb{R})$ の直交 wavelet 展開

$$f(x) = \sum_j \sum_k d_{j,k} \psi_{j,k}(x), \quad d_{j,k} = \langle f, \psi_{j,k} \rangle \quad (j, k \in \mathbb{Z})$$

において,

$$g_j(x) := \sum_k d_{j,k} \psi_{j,k}(x)$$

レベル j の詳細
解像度レベル

$$f_j(x) := g_{j-1}(x) + g_{j-2}(x) + \dots$$

レベル j の近似
(レベルが j より粗い変動を表す部分)

と定めれば,

$$f_j(x) \rightarrow f(x) = \sum_{j=-\infty}^{\infty} g_j(x) \quad (j \rightarrow \infty)$$

十分大きな j では $f_j(x)$ は $f(x)$ のよい近似になっていると考えられる.

$f_j(x)$ は分解を繰り返すことにより,

$$\begin{aligned} f_j(x) &= f_{j-1}(x) + g_{j-1}(x) \\ &= f_{j-2}(x) + g_{j-2}(x) + g_{j-1}(x) \\ &= \dots \\ &= f_{j_0}(x) + \sum_{j_0 \leq j' < j} g_{j'}(x) \quad (j > j_0) \end{aligned}$$

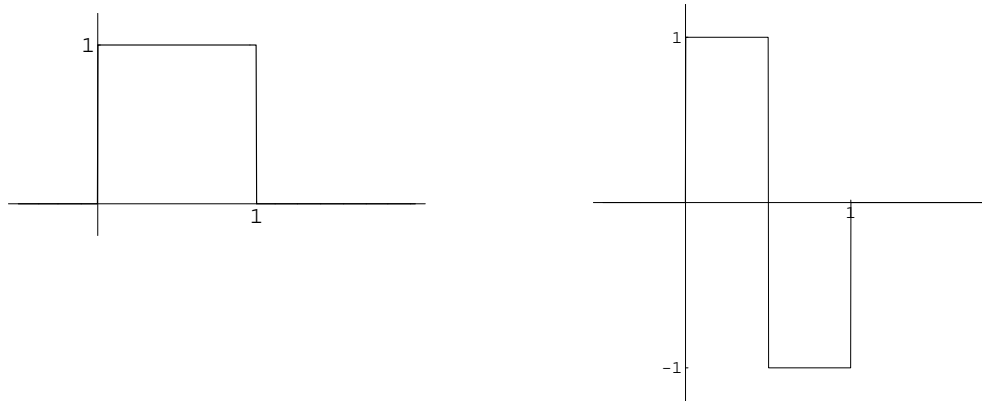
これより

- 詳細部分 $g_j(x)$ は隣り合うレベルの近似 $f_{j+1}(x)$ と $f_j(x)$ の「差分」であり,
- $f_j(x)$ が粗い近似 $f_{j_0}(x)$ に各 $j' = j_0, j_0 + 1, \dots, j - 1$ における詳細部分 $g_{j'}(x)$ を順々に足したものに等しい

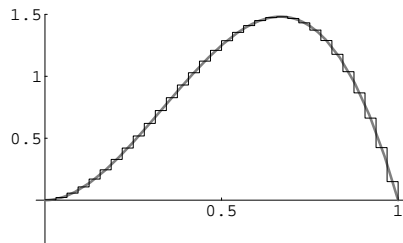
以上をまとめて,

$$f(x) = \sum_{j,k \in \mathbb{Z}} d_{j,k} \psi_{j,k}(x) = \sum_{j=-\infty}^{\infty} g_j(x) = f_{j_0}(x) + \sum_{j=j_0}^{\infty} g_j(x) \quad (j_0 \in \mathbb{Z} \text{ は任意})$$

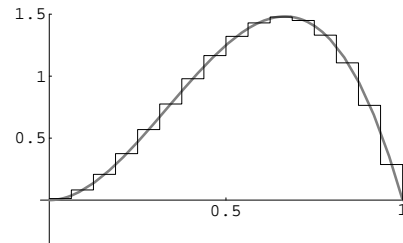
(例) Haar scaling 関数 (後出), Haar wavelet (最も単純な直交 wavelet)



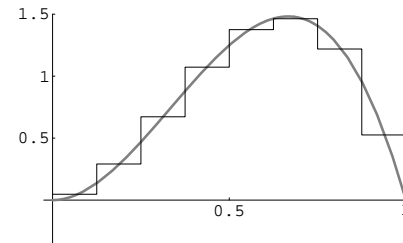
の場合,



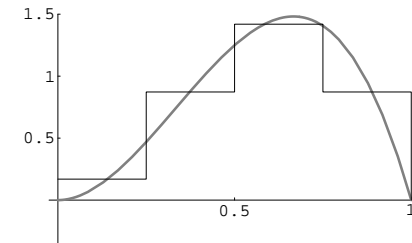
$f_5(x)$



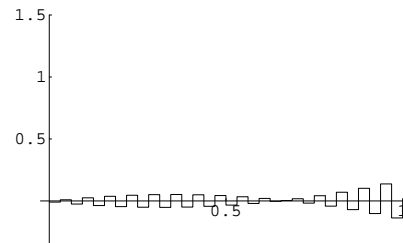
$f_4(x)$



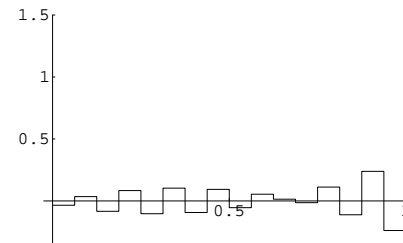
$f_3(x)$



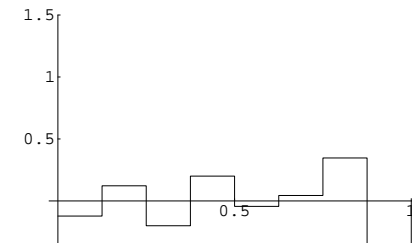
$f_2(x)$



$g_4(x)$



$g_3(x)$



$g_2(x)$

上の議論において,

$$W_j := (\{\psi_{j,k} \mid k \in \mathbb{Z}\} \text{ の生成する } L^2(\mathbb{R}) \text{ の閉部分空間}),$$

$$V_j := W_{j-1} \oplus W_{j-2} \oplus \cdots = V_{j-1} \oplus W_{j-1} \quad (V_j \text{ は “レベル } j \text{ の近似空間”})$$

とおけば, $\{V_j\}_{j \in \mathbb{Z}}$ は次を満たす.

- (1) $\cdots \subset V_{-2} \subset V_{-1} \subset V_0 \subset V_1 \subset V_2 \subset \cdots$
- (2) $\bigcap_{j \in \mathbb{Z}} V_j = \{0\}, \quad \overline{\bigcup_{j \in \mathbb{Z}} V_j} = L^2(\mathbb{R})$
- (3) $f \in V_j \Leftrightarrow f(2^{-j}\cdot) \in V_0$
- (4) $f \in V_0 \Leftrightarrow$ すべての $n \in \mathbb{Z}$ について $f(\cdot - n) \in V_0$

直交 wavelet を構成するために, $\{W_j\}_{j \in \mathbb{Z}}$ から得られた $\{V_j\}_{j \in \mathbb{Z}}$ の方に注目し, 先に適当な $\{V_j\}_{j \in \mathbb{Z}}$ (対応する “直交 scaling”) を構成し, それを用いて直交 wavelet を構成するという戦略をとる.

《定義》 (多重解像度解析)

$L^2(\mathbb{R})$ の閉部分空間の族 $\{V_j\}_{j \in \mathbb{Z}}$ が次の5つの条件 (i)–(v) を満たすとき, $\{V_j\}_{j \in \mathbb{Z}}$ を **多重解像度解析 (MRA)** という.

- (i) $V_j \subset V_{j+1} \quad (j \in \mathbb{Z})$
- (ii) $f(x) \in V_j \Leftrightarrow f(2x) \in V_{j+1} \quad (j \in \mathbb{Z})$
- (iii) $f(x) \in V_0 \Leftrightarrow f(x - k) \in V_0 \quad (k \in \mathbb{Z})$
- (iv) $\exists \varphi \in V_0 : \{\varphi(\cdot - n)\}_{n \in \mathbb{Z}}$ が V_0 の正規直交基底 (φ を **直交 scaling 関数** と呼ぶ)
- (v) $\bigcap_{j \in \mathbb{Z}} V_j = \{0\}, \quad \overline{\bigcup_{j \in \mathbb{Z}} V_j} = L^2(\mathbb{R}^2)$

直交 scaling 関数 φ が得られれば, それから直交 wavelet ψ が一般論で構成できる.

直交 scaling 関数 $\varphi(x)$ は **two-scale 関係** $\varphi(x) = \sum_{k \in \mathbb{Z}} p_k \varphi(2x - k)$ の係数を決めることにより得られる. このとき, 直交 wavelet $\psi(x)$ は $W_0 := V_1 \ominus V_0$ (V_1 における V_0 の直交補空間) の“基底関数”として決まる.